

第二十二章 氢原子及原子结构初步

§ 22.1 玻尔氢原子理论(1913年)

玻尔的三个假设：1. 定态假设。2. 频率假设。3. 轨道角动量量子化假设。

氢原子的轨道半径，能级以及对光谱的解释：

$$r_n = n^2 \frac{\varepsilon_0 h^2}{\pi m e^2} = n^2 \times (0.529 \times 10^{-10} m), \quad n = 1, 2, 3, \dots$$

$$E_n = -\frac{1}{n^2} \frac{m e^4}{8 \varepsilon_0^2 h^2} = \frac{1}{n^2} \times (-13.6 \text{ eV}), \quad n = 1, 2, 3, \dots$$

$$\frac{1}{\lambda_{if}} = \frac{me^4}{8\varepsilon_0^2 h^3 c} \left(\frac{1}{n_f^2} - \frac{1}{n_i^2} \right).$$

例1. 用动能为 13.06 eV 的电子和处于基态的氢原子碰撞，氢原子中的电子能否电离？如果不能，则被碰撞到激发态的H原子回到基态的过程中可能发出几种频率的光？

解： $13.06\text{ eV} < 13.6\text{ eV}$, ∴ 不能电离。

碰撞后H原子具有的最大能量为

$$-13.6 + 13.06 = -0.54\text{ eV}.$$

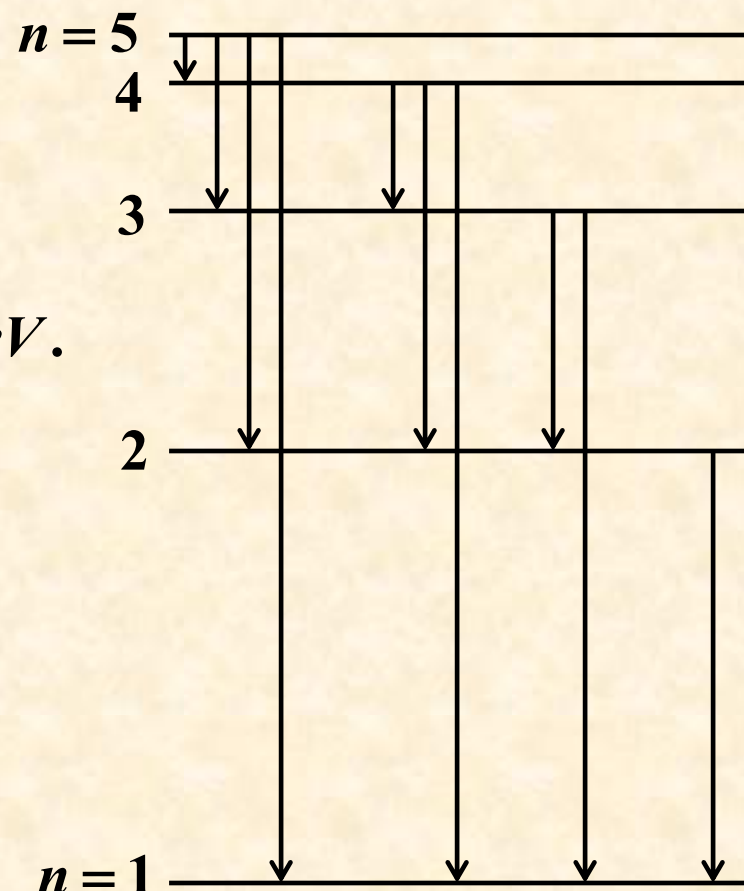
$$E_1 = -13.6\text{ eV}, E_2 = -13.6 / 2^2 = -3.4\text{ eV}.$$

$$E_3 = -1.51\text{ eV}, E_4 = -0.85\text{ eV}.$$

$$E_5 = -0.54\text{ eV}, E_6 = -0.38\text{ eV}.$$

所以，电子最高可被激发到第四激发态($n=5$)上。当然，激发到 $n=2, 3, 4$ 的状态也是可能的。

可发出十种频率的光。



注：电子碰撞激发和光照激发不同，后者的能量必须“严格”(能级本身有测不准原理所导致的 ΔE) 等于两个能级之差。

例2. (习题22.14) Li^{++} 的电离能是多少?

解: 这是关于类氢离子(名词出现在课本223页)的问题。某些原子的最外支壳层被电离得只剩下一个电子, 如果其内层电子和原子核结合牢固、可看成一个带正电的整体, 那么可粗糙地用玻尔理论来处理。类氢离子概念只适用于原子序数 z 较低的元素。

$$\left. \begin{array}{l} \frac{ze \times e}{4\pi\varepsilon_0 r^2} = m \frac{v^2}{r} \\ rmv = n\hbar \end{array} \right\} \Rightarrow \dots \Rightarrow E_n = -z^2 \frac{1}{n^2} \frac{me^4}{8\varepsilon_0^2 h^2} = -\frac{13.6z^2}{n^2} eV. \quad (n = 1, 2, 3, \dots)$$

\therefore 电离能 $= 13.6 \times 3^2 = 122.4 \text{ eV.}$

例3(课本例22.1). 求氢原子从量子数为 n 的能级跃迁到 $n-1$ 能级的辐射频率, 并说明当 n 很大时与经典理论一致。

本题之目的是简单提及玻尔提出的对应原理: 量子数很大时, 量子理论与经典理论的结论一致。

§ 22.2 弗兰克—赫兹实验(课后阅读, 不考)

§ 22.3 量子力学对氢原子的描述(并介绍其它原子的少量结论)

一、氢原子的定态薛定谔方程

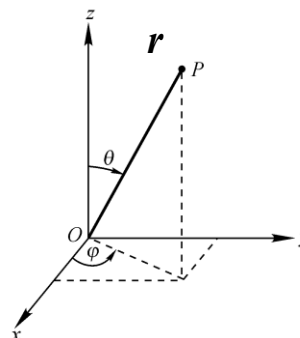
$$\left(\frac{\partial^2}{\partial x^2} + \frac{\partial^2}{\partial y^2} + \frac{\partial^2}{\partial z^2}\right)\Psi(\vec{r}) + \frac{2m}{\hbar^2} [E - \left(-\frac{e^2}{4\pi\epsilon_0 r}\right)]\Psi(\vec{r}) = 0.$$

氢原子具有球对称，因此采用球坐标，

$$x = r \sin \theta \cos \phi,$$

$$y = r \sin \theta \sin \phi,$$

$$z = r \cos \theta,$$



球坐标系中的定态薛定谔方程：

$$\begin{aligned} & \left[\frac{1}{r^2} \frac{\partial}{\partial r} \left(r^2 \frac{\partial}{\partial r} \right) + \frac{1}{r^2 \sin \theta} \frac{\partial}{\partial \theta} \left(\sin \theta \frac{\partial}{\partial \theta} \right) + \frac{1}{r^2 \sin^2 \theta} \frac{\partial^2}{\partial \phi^2} \right] \psi(r, \theta, \phi) \\ & + \frac{2m}{\hbar^2} \left(E + \frac{e^2}{4\pi\epsilon_0 r} \right) \psi(r, \theta, \phi) = 0. \end{aligned}$$

氢原子的定态波函数可以分离变量，即

$$\psi(r, \theta, \phi) = R(r)\Theta(\theta)\Phi(\phi).$$

将 $\psi(r, \theta, \phi) = R(r)\Theta(\theta)\Phi(\phi)$ 代入薛定谔方程，可得到分别关于 r , θ , ϕ 的三个独立方程：

$$\frac{1}{r^2} \frac{d}{dr} \left(r^2 \frac{dR(r)}{dr} \right) + \left[\frac{2m}{\hbar^2} \left(\frac{e^2}{4\pi\epsilon_0 r} + E \right) - \frac{l(l+1)}{r^2} \right] R(r) = 0, \quad (\text{径向方程})$$

$$\frac{1}{\sin \theta} \frac{d}{d\theta} \left(\sin \theta \frac{d\Theta(\theta)}{d\theta} \right) + \left[l(l+1) - \frac{m_l^2}{\sin^2 \theta} \right] \Theta(\theta) = 0, \quad (\text{经度方程})$$

$$\frac{d^2\Phi(\phi)}{d\phi^2} + m_l^2 \Phi(\phi) = 0. \quad (\text{纬度方程})$$

l, m_l 是分立的量子数，它们分别叫做角量子数和磁量子数，详细含义见下文 p. 在接下去求解径向方程的过程中还会再出现新的分立量子数。

原子中的电子处于束缚态，波函数的单值、有限、连续、平方可积性质 → 一些边界条件或周期性条件 → 分立的量子数的出现。

二、薛定谔方程的解(求解过程不要求)

1. 波函数

在解径向方程的过程中出现另一个量子数 n ($n = 1, 2, 3, \dots$), 因此 R 与 n, l 两个量子数有关; 根据经度方程, Θ 与 l, m_l 两个量子数有关; 根据纬度方程, Φ 与量子数 m_l 有关。一个具体的波函数由 (nlm_l) 三个量子数决定。

$$\psi_{n,l,m_l}(r,\theta,\phi) = R_{nl}(r) \Theta_{lm_l}(\theta) \Phi_{m_l}(\phi).$$

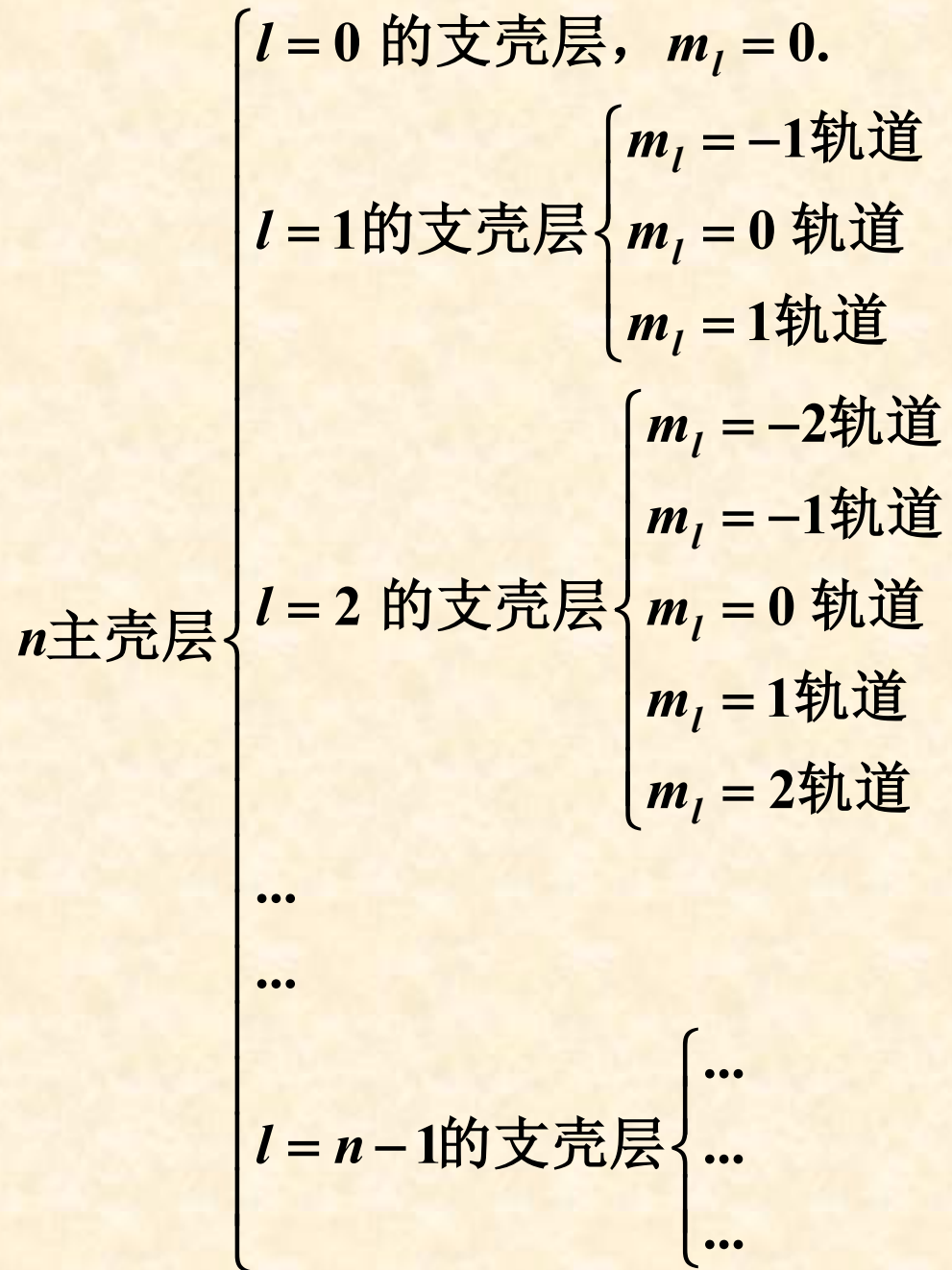
n 叫主量子数, l 叫角量子数, m_l 叫磁量子数。

n, l, m_l 之间的组合须遵从下列关系: l 必须小于 n , m_l 的绝对值必须小于或等于 l , 即

$$\begin{aligned} l &= 0, 1, 2, \dots n-1; \\ m_l &= 0, \pm 1, \pm 2, \dots \pm l. \end{aligned}$$

一个波函数也叫一个轨道、一个状态或一个量子态。

我们把 n 相同的所有波函数叫做一个主壳层, 共包含 $\sum_{l=0}^{n-1} (2l+1) = n^2$ 个波函数。 (nl) 相同的所有波函数叫做一个支壳层, 包含 $2l+1$ 个波函数。



部分波函数的具体形式见下表(课本p230, 表22.1)。 a_0 为玻尔半径0.529 Å。

表 22.1 氢原子的几个归一化波函数

n	l	m_l	$\psi_{nlm_l} = R_{nl} \Theta_{lm_l} \Phi_{ml}$		
			$R_{nl}(r)$	$\Theta_{lm_l}(\theta)$	$\Phi_{ml}(\phi)$
1	0	0	$\frac{2}{\sqrt{a_0^3}} e^{-r/a_0}$	$\frac{1}{\sqrt{2}}$	$\frac{1}{\sqrt{2\pi}}$
2	0	0	$\frac{1}{\sqrt{(2a_0)^3}} (2 - \frac{r}{a_0}) e^{-r/2a_0}$	$\frac{1}{\sqrt{2}}$	$\frac{1}{\sqrt{2\pi}}$
2	1	0	$\frac{1}{\sqrt{(2a_0)^3}} \frac{r}{\sqrt{3} a_0} e^{-r/2a_0}$	$\sqrt{\frac{3}{2}} \cos\theta$	$\frac{1}{\sqrt{2\pi}}$
2	1	± 1	$\frac{1}{\sqrt{(2a_0)^3}} \frac{r}{\sqrt{3} a_0} e^{-r/2a_0}$	$\frac{\sqrt{3}}{2} \sin\theta$	$\frac{1}{\sqrt{2\pi}} e^{\pm i\phi}$

l 应是下标。

考试要求: 1s 电子, 即1,0,0 电子的 R_{10} 、 Θ_{00} 、 Φ_0 需熟记。

$$\psi_{100}(r, \theta, \phi) = R_{10}(r) \Theta_{00}(\theta) \Phi_0(\phi)$$

$$= \frac{2}{\sqrt{a_0^3}} e^{-r/a_0} \times \frac{1}{\sqrt{2}} \times \frac{1}{\sqrt{2\pi}}.$$

2. 能量(能级)——径向方程的解

$$\text{能级 } E_n = -\frac{1}{n^2} \frac{me^4}{8\varepsilon_0^2 h^2}, \quad n = 1, 2, 3, \dots$$

只由主量子数决定，与玻尔理论结果相同(本课件的例1、例2仍然有效)。

根据径向方程，能量还应与 l 有关。确实，除氢原子外所有原子的能级都由 nl 两个量子数决定， $E=E_{nl}$ 。

同学们在高中就知道除H原子外的其它原子的 $2s$ 和 $2p$ 能量不同，是不同的能级；这就是“能级由(nl)两个量子数决定”的体现。

能级标记 nl : 10, 20, 21, 30, 31, 32, 40, 41, 42, 43, ...

所对应的惯常标记: 1s, 2s, 2p, 3s, 3p, 3d, 4s, 4p, 4d, 4f, ...

在惯常标记中角量子数 $l=0, 1, 2, 3, \dots n-1$ 分别用小写字母 $s, p, d, f, g, h, i, k, \dots$ 标记(注意：没有字母 j)。

氢原子的能级与角量子数 l 无关是因为它太对称了。

一个 E_{nl} 包含 $2l+1$ 个不同 m_l 的波函数，这些波函数往往不相同，见表22.1最后两行。多个不同波函数的能量相等的现象叫简并。所有原子的所有能级对于 m_l 是简并的。

简并只针对能量而言。简并的两个或多个状态的其它物理量，比如角动量，往往不同。

3. 电子空间位置的概率分布 电子云

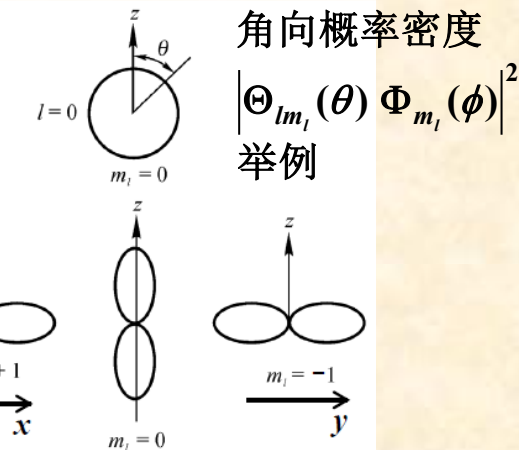
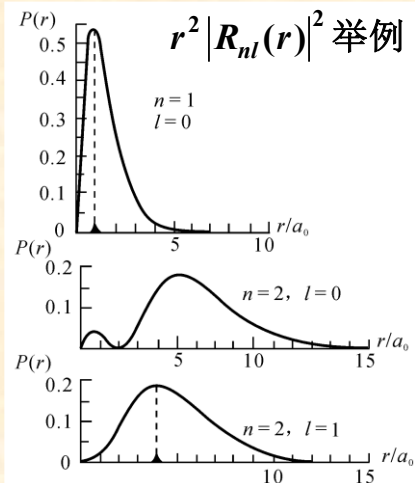
$|ψ(r, θ, φ)|^2 dV = |R_{nl}(r) \Theta_{lm_l}(\theta) \Phi_{m_l}(\phi)|^2 r^2 \sin \theta dr d\theta d\phi$ 为电子在球坐标体积元 dV 中出现的概率。(波恩对波函数的统计解释)

球坐标系的体积元 $dV = r^2 \sin \theta dr d\theta d\phi \neq dr d\theta d\phi$ 。根据概率密度是对 dV 而言还是对 $dr d\theta d\phi$ 而言有不同的定义方法，本课件只介绍课本中的定义(阅读科学文献时可能会遇到不同的定义)。

电子的概率密度： $|ψ(r, θ, φ)|^2 = |R_{nl}(r) \Theta_{lm_l}(\theta) \Phi_{m_l}(\phi)|^2$ 。

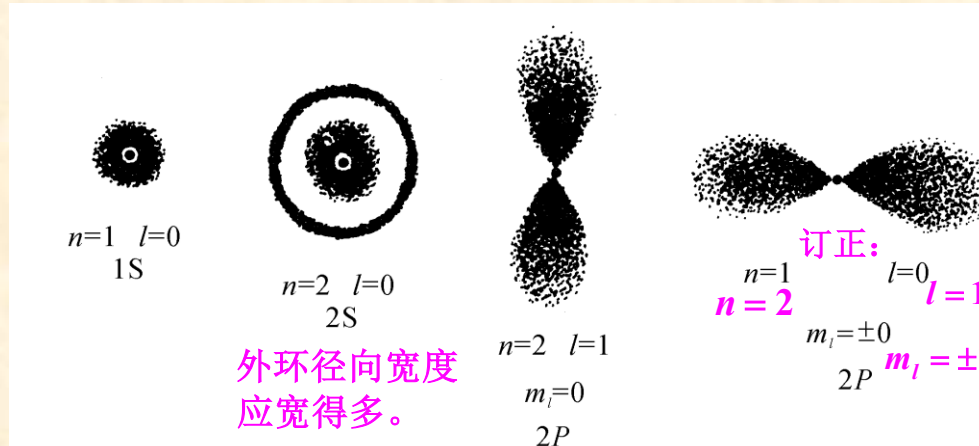
径向概率密度($P(r)$)： $r^2 |R_{nl}(r)|^2$ 。

角向概率密度： $|\Theta_{lm_l}(\theta) \Phi_{m_l}(\phi)|^2$ 。



电子云:

$r^2 |\psi(r, \theta, \phi)|^2 = r^2 |R_{nl}(r)|^2 |\Theta_{lm_l}(\theta) \Phi_{m_l}(\phi)|^2$ 的散点图形表示。



电子云 $r^2 |R_{nl}(r) \Theta_{lm_l}(\theta) \Phi_{m_l}(\phi)|^2$ 举例。中心小圆点代表原子核。

例4. H 原子 $2s$ 能级只有一个态，波函数为

$$\Psi_{nlm_l} = \Psi_{200} = \frac{1}{4\sqrt{2\pi}} \left(\frac{1}{a_0}\right)^{3/2} \left(2 - \frac{r}{a_0}\right) e^{-r/2a_0}, \text{ 其中 } a_0 = \frac{\epsilon_0 h^2}{\pi m e^2}.$$

- 试求： (1) 该状态的主量子数，角量子数和磁量子数；
 (2) $r = a_0$ 处的概率密度大小(答案用 a_0 表示)；
 (3) $r = a_0$ 处的径向概率密度大小(答案用 a_0 表示)；
 (4) 角向概率密度。

解： (1) $n = 2, l = 0, m_l = 0$.

$$(2) \text{ 概率密度} = |\Psi_{200}(r = a_0)|^2 = \frac{e^{-1}}{32\pi a_0^3}.$$

$$(3) \text{ 径向概率密度} = r^2 |R(r)|^2 \\ = r^2 \times \left| \frac{1}{2\sqrt{2}} \left(\frac{1}{a_0}\right)^{3/2} \left(2 - \frac{r}{a_0}\right) e^{-r/2a_0} \right|^2 \Big|_{(r=a_0)} = \frac{e^{-1}}{8a_0}.$$

$$(4) \text{ 角向概率密度} |\Theta_{lm_l}(\theta) \Phi_{m_l}(\phi)|^2 = |\Theta_{00}(\theta) \Phi_0(\phi)|^2 \\ = \left| \frac{1}{\sqrt{2}} \times \frac{1}{\sqrt{2\pi}} \right|^2 = \frac{1}{4\pi}.$$

例5. 氢原子 $2p$ 态的径向波函数为 $R_{21}(r) = \frac{r}{\sqrt{24a_0^5}} e^{-r/2a_0}$.

(1) 求径向概率密度的表达式;

(2) 求径向概率密度最大的位置(即电子出现概率最大的半径)。

解: (1) $P(r) = r^2 |R_{21}(r)|^2 = r^2 \times (\frac{r}{\sqrt{24a_0^5}} e^{-r/2a_0})^2 = \frac{r^4}{24a_0^5} e^{-r/a_0}$.

(2) $\frac{dP(r)}{dr} = 0 \Rightarrow r = 4a_0$ (极大值位置) 或 0 (极小值位置).

取 $r = 4a_0$.

关于氢原子能级的例题见玻
尔理论部分的例1和例2.

4. 轨道角动量及其分量 角量子数 l 磁量子数 m_l

薛定谔方程最基本的功能是解出能量和波函数。得到能量和波函数后可根据相关的公式计算其它某些物理量，比如角动量。

氢原子的角动量计算结果：电子处在角量子数为 l 的支壳层时，轨道运动的角动量大小为

$$L = \sqrt{l(l+1)} \hbar,$$

与主量子数 n 无关。

因为角动量的大小由量子数 l 决定，所以 l 被称为角动量量子数，简称为角量子数。

角动量的大小与磁量子数 m_l 也无关，但角动量的方向与 m_l 有一定的关系。

量子力学解出，角动量 \vec{L} 在 z 轴上的分量为

$$L_z = m_l \hbar. \quad (m_l = 0, \pm 1, \pm 2, \dots \pm l, \text{ 磁量子数})$$

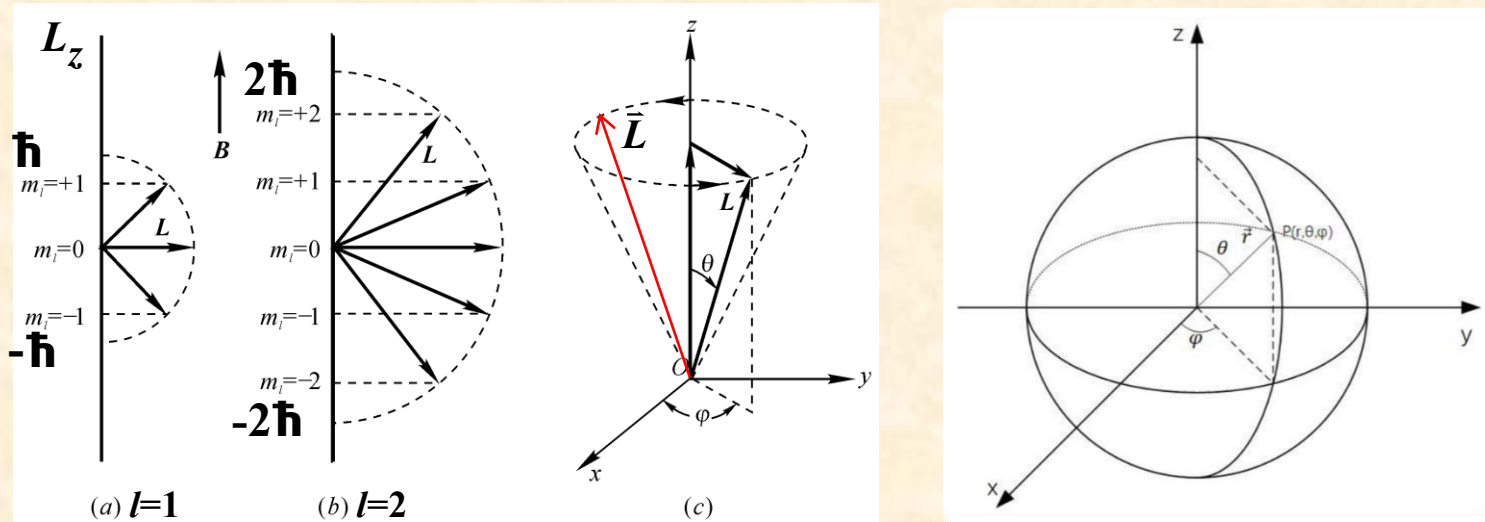
注：球坐标系有对应的 z 、 x 、 y 轴。

玻尔理论中 $L = n \hbar$ (错)，

$L_{\text{基态}} = \hbar$ (错)，

在考试和作业中使用量子力学结果。

$L_z = |\vec{L}| \cos \theta$ (θ 为 \vec{L} 与 z 轴夹角), L_z 取值的量子化也就是 θ 的量子化, 即 \vec{L} 的空间取向受到一定程度的限制, 这叫空间量子化, 如下左图所示。



L 在 xy 平面上的投影 $L \sin \theta$ (图c)对于不同的 m_l 或 θ 是一系列分立的数值, 即 $\sqrt{L_x^2 + L_y^2}$ 是一些分立的、确定的数值。但是, 薛定谔方程解不出 L_x 和 L_y 各自的数值。所以, 即使对某个 m_l 或 θ , \vec{L} 的方向也不是完全确定的, 见图中红线箭头(可能在圆锥面上的任意位置)。

L_x 和 L_y 的不确定是由不确定性关系所决定的。

作圆周运动的粒子 $\Delta L_z \Delta \phi \geq \frac{\hbar}{2}$. (习题21.14)

对于某个 L_z , $\Delta L_z = 0$, $\Delta \phi \rightarrow \infty$, ϕ 完全不确定, 所以 L_x 和 L_y 不确定。

z 轴的方向可任意选取，无论取为哪个方向， $L_z = m_l \hbar$ 都成立，即 L_z 是分立的。当然，如果在某个 x - y - z 坐标系中电子的 L_z 是某个确定的取值，比如 $2\hbar$ ，在另一个 x - y - z 坐标系中 L_z 一般不会是 $2\hbar$ ，而是变成另外的数值。

三、外场中的原子能级与 m_l 有关—塞曼(Zeeman)效应

原子处在外磁场中时，薛定谔方程的势能多了一项 $-\vec{\mu} \cdot \vec{B}$ (见第8个课件 p.12 的课后阅读内容)，这部分能量 ΔE 与 m_l 有关(磁量子数这个名称的来源)，能级对 m_l 的简并被解除。这叫 Zeeman 效应。

电子绕核旋转具有磁矩， $\vec{\mu} = -\frac{e}{2m} \vec{L}$. (第9个课件 p.11 或课本 13.2 节)

$\because \vec{L}$ 、 L_z 是量子化的， $\therefore \vec{\mu}$ 、 μ_z 也是量子化的。

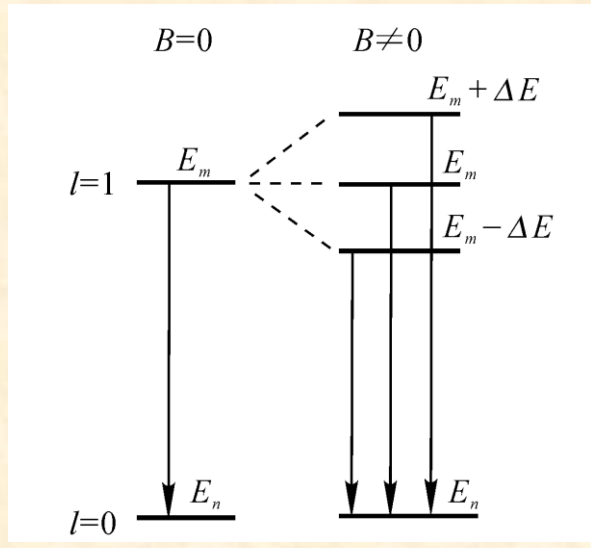
$$|\mu| = \frac{e}{2m} \sqrt{l(l+1)} \hbar, \quad l = 0, 1, 2, \dots, n-1.$$

$$\mu_z = \frac{e}{2m} \cdot m_l \hbar, \quad m_l = 0, \pm 1, \pm 2, \dots, \pm l.$$

将 z 轴正向取为 \vec{B} 的方向,

$$\Delta E = -\vec{\mu} \cdot \vec{B} = -\mu_z B$$

$$\Delta E = \frac{e}{2m} m_l \hbar B, \quad m_l = 0, \pm 1, \pm 2, \dots, \pm l.$$



塞曼效应

ΔE 有多个可能的取值，原先的能级 nl 劈裂成 $2l+1$ 个能级，对 m_l 的简并被解除。在右上图中一个 $l=1$ 的能级劈裂成三个能级。电子处于这三个能级的概率都不为零。在原子光谱实验中，不加磁场时的一条谱线变成三条，这就是先在实验中(塞曼，1896年)观察到的塞曼效应。

用经典理论能够勉强解释塞曼效应，塞曼的实验发现+洛伦兹的理论解释分享了1902年诺贝尔物理奖，但其完美解释(本页和上页内容)需要量子力学。

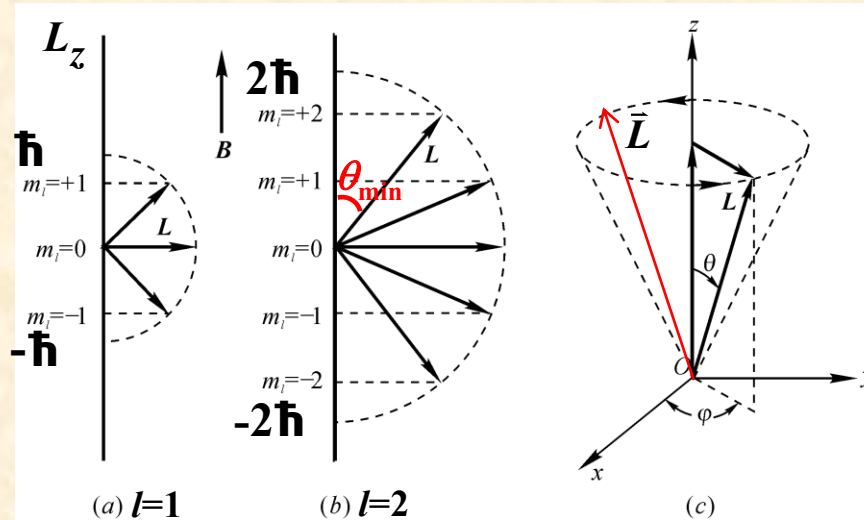
原子在外电场中时，能级对 m_l 的简并也被解除，这叫*Stark*效应(1913年发现，1919年诺奖，迟了， m_l 不叫电量子数)，本课程不作介绍。

例6. H 原子 $3d$ 电子的轨道角动量 $L = \underline{\hspace{2cm}}$, 在 z 方向的可能分量 $L_z = \underline{\hspace{2cm}}$, 轨道角动量与 z 轴方向的最小夹角为 $\underline{\hspace{2cm}}$ 。

解: d 电子 $l=2$. $L = \sqrt{l(l+1)}\hbar = \sqrt{2 \times (2+1)}\hbar = \sqrt{6}\hbar$.

$$L_z = m_l \hbar = -2\hbar, -\hbar, 0, \hbar, 2\hbar,$$

$$L_z = L \cos \theta. \quad \cos \theta_{\min} = \frac{+2\hbar}{\sqrt{6}\hbar}, \quad \theta_{\min} = 35.3^\circ.$$



作业

22.2, 22.3, 22.5, 22.6,

22.7, 22.9, 22.11.